

УДК 538.56 · 621.371

## ИЗМЕРЕНИЯ СРЕДНЕГО УРОВНЯ АМПЛИТУДЫ СВЕТОВОЙ ВОЛНЫ ПРИ РАСПРОСТРАНЕНИИ В ТУРБУЛЕНТНОЙ АТМОСФЕРЕ

*М. Е. Грачева, А. С. Гурвич, М. А. Каллистратова*

Изложены методика и результаты измерений среднего логарифма амплитуды  $\langle \chi \rangle$  плоской световой волны, распространяющейся на горизонтальных трассах длиной 250 и 1750 м в приземном слое атмосферы. Пучок света от газового лазера ( $\lambda=0,63\text{мкм}$ ) расширялся высококачественным коллиматором до диаметра 50 см. Показано, что при принятой методике исключалось влияние поглощения в атмосфере на измеряемую величину  $\langle \chi \rangle$ . Приведена зависимость величины  $\langle \chi \rangle$  от параметра  $\sigma_0$ , представляющего собой дисперсию флуктуаций логарифма амплитуды волны, рассчитанную методом плавных взмущений, а также зависимость величины  $\langle \chi \rangle$  от измеряемой одновременно дисперсии флуктуаций логарифма амплитуды  $\sigma_{\chi}^2 = \langle (\chi - \langle \chi \rangle)^2 \rangle$ . Полученные данные показывают, что соотношение  $\langle \chi \rangle = -\sigma_{\chi}^2$ , найденное теоретически для области «слабых» флуктуаций, т. е. для  $\sigma_0 < 1$ , остается справедливым и при «сильных» флуктуациях. Отмечается противоречие полученных данных гипотезе о рэлеевском распределении флуктуаций амплитуды в области  $\sigma_0 \gg 1$ .

Проведенный Татарским [1] теоретический анализ флуктуаций, возникающих в световой волне при распространении ее в турбулентной атмосфере, показал, что дисперсия и среднее значение логарифма амплитуды являются функциями расстояния, проходимого волной, и характеристик турбулентности. Однако данных об измерениях среднего значения логарифма амплитуды до настоящего времени не опубликовано. В настоящей работе приведены результаты измерений среднего значения и дисперсии логарифма амплитуды световой волны на двух приземных трассах при различных интенсивностях турбулентности. Наибольшее внимание уделено измерениям в области сильных флуктуаций, обнаруженной в исследованиях [2–4].

Существует два различных механизма, приводящих к изменению амплитуды с расстоянием: поглощение света и возникновение флуктуаций из-за наличия многократного рассеяния на турбулентных неоднородностях показателя преломления\*.

В [6] проведен расчет флуктуаций логарифма амплитуды плоской волны  $A_0 \exp(ikx)$ , падающей на поглащающий слой  $0 < x < L$ , заполненный локально-изотропными турбулентными неоднородностями. Этот расчет показал, что даже при большом ослаблении на трассе относительные флуктуации амплитуды в плоскости  $x = L$  определяются в основном случайным полем действительной части показателя

\* Рассеяние на аэрозоле при дальнейшем рассмотрении флуктуаций в волне не будет специально выделяться, так как роль аэрозоля в рассеянии вперед, по-видимому, мала по сравнению с рассеянием на турбулентных неоднородностях, и ослабление за счет аэрозольного рассеяния будет описываться суммарным коэффициентом поглощения. Изучению поглощения в атмосфере и рассеяния на аэрозоле посвящено большое количество работ, подробную библиографию которых можно найти в [5].

преломления. Поглощение в среде достаточно хорошо учитывается введением в мгновенную амплитуду множителя  $\exp(-\gamma L)$ , где  $\gamma$ —среднее значение коэффициента поглощения. Таким образом, оказывается возможным представить амплитуду волны в плоскости  $x = L$  выражением  $A = A_0 \exp(\chi - \gamma L)$ , где логарифм амплитуды  $\chi = \ln[A/A_0 \times \exp(-\gamma L)]$  является случайной функцией времени и координат  $y, z$ , причем  $\chi = 0$  при  $L = 0$ . При этом для определения моментов распределения  $\chi - \langle \chi \rangle$  и  $\langle (\chi - \langle \chi \rangle)^2 \rangle$  можно воспользоваться результатами, полученными в [1] в предположении, что  $\gamma = 0$ .

Среднее значение логарифма амплитуды было рассчитано в [1] применением метода Рытова—Обухова к решению волнового уравнения с использованием второго приближения:

$$\langle \chi \rangle = -\langle (\chi - \langle \chi \rangle)^2 \rangle. \quad (1)$$

Этот результат справедлив для слабых флюктуаций\*, т. е. для  $\langle (\chi - \langle \chi \rangle)^2 \rangle \ll 1$ . В свою очередь, в [1] показано, что дисперсия флюктуаций логарифма амплитуды при распространении в атмосфере на достаточно длинных трассах определяется расстоянием  $L$ , волновым числом  $k$ , структурной постоянной поля показателя преломления  $C_n$  и может быть рассчитана по формуле

$$\sigma_\chi^2 \equiv \langle (\chi - \langle \chi \rangle)^2 \rangle = 0,31 C_n^2 k^{7/6} L^{11/6}, \quad (2)$$

справедливой также для малых флюктуаций. В дальнейшем будем обозначать  $\sigma_0^2 \equiv 0,31 C_n^2 k^{7/6} L^{11/6}$ .

Проведенные эксперименты [2–4], в которых одновременно и независимо определялись значения  $\sigma_\chi^2$  и  $\sigma_0^2$ , подтвердили, что (2) может быть использовано для расчетов дисперсии уровня при условии  $\sigma_0 \leq 0,5$ . С дальнейшим увеличением  $\sigma_0$  (при сильных флюктуациях) измеренная дисперсия  $\sigma_\chi^2$  переставала расти. Теоретический расчет  $\langle \chi \rangle$  и других статистических характеристик флюктуаций уровня при  $\sigma_0 > 1$  наталкивается пока на большие трудности, однако можно ожидать, как отмечается в [1, 7], что значения  $\sigma_0$  будут определять значения  $\langle \chi \rangle$  и  $\sigma_\chi^2$  также и при  $\sigma_0 > 1$ , т. е.  $\langle \chi \rangle = f(\sigma_0)$ . Из (1), (2) следует, что для  $\sigma_0 < 1$   $\langle \chi \rangle = -\sigma_0^2$ .

Измерения  $\langle \chi \rangle$ ,  $\langle (\chi - \langle \chi \rangle)^2 \rangle$  и  $\sigma_0$  проводились на приземных трассах длиной  $L_1 = 250$  м и  $L_2 = 1750$  м в открытой степи над достаточно ровной поверхностью при дальности видимости не менее нескольких километров. Средняя высота луча над поверхностью составляла 1,1 и 2 м для трасс  $L_1$  и  $L_2$  соответственно. Структурная постоянная  $C_n$ , необходимая для вычисления  $\sigma_0$ , определялась из измерений вертикальных профилей температуры и скорости ветра в приземном слое на высотах от 0,5 до 8 м с использованием методики, изложенной в [1, 2]. Вышка для определения вертикальных профилей находилась в нескольких десятках метров от трассы. Диапазон изменений величины  $C_n$  на высоте 2 м составлял  $C_n = 10^{-9} \div 1,5 \cdot 10^{-7}$  см<sup>-1</sup>.

В качестве источника света использовался гелий-неоновый лазер с длиной волны 0,63 мкм, работающий в режиме осевых колебаний. Пучок, выходящий из лазера, расширялся высококачественным коллиматором. Выходное отверстие коллиматора составляло  $D_1 = 12$  см на трассе  $L_1$  и  $D_2 = 50$  см на трассе  $L_2$ . Коллиматоры настраивались так, что сечение пучка оставалось неизменным по всей трассе от выхода из коллиматора до плоскости приема. Поскольку волновой параметр  $kD^2/L$

\* Легко показать, что если  $\chi$  распределено нормально, то (1) есть следствие закона сохранения энергии.

в эксперименте был велик (больше 570 и 1400 для трасс  $L_1$  и  $L_2$  соответственно), около оси пучка можно было пренебречь дифракцией на краях коллиматора и расчет  $\sigma_0$  проводить по формуле (2), выведенной для неограниченной плоской волны. При выбранных размерах коллимированных пучков можно было, по-видимому, пренебречь краевыми эффектами еще потому, что волны, дифрагированные на самых мелких неоднородностях, имеющих размер внутреннего масштаба турбулентности  $l_0$  ( $l_0$  в приземном слое порядка нескольких миллиметров), не выходили за пределы пучка и участвовали в образовании случайной интерференционной картины в плоскости приема.

Приемником света служил фотоумножитель (ФЭУ), перед которым была установлена диафрагма диаметром 0,3 мм. От посторонней засветки приемник был защищен блендой и интерференционным светофильтром, установленным за входной диафрагмой. Малый по сравнению с радиусом корреляции логарифма интенсивности размер диафрагмы позволял считать приемник точечным и ток ФЭУ  $I$  можно было считать пропорциональным освещенности. Нагрузкой ФЭУ служил вакуумный диод, напряжение на котором при малых токах пропорционально логарифму тока [8]. Подбор элементов схемы и тока накала диода позволили получить удовлетворительную характеристику логарифмирования в пределах  $0,003 \ll I \ll 100 \text{ мкА}$  при полосе пропускания от 0 до  $10 - 15 \text{ кГц}$ . Напряжение на диоде измерялось интегрирующим вольтметром. Кроме того, измерялся средний ток ФЭУ  $\langle I \rangle$ , а с помощью дифференцирующей  $RC$  цепочки ( $RC = 20 \text{ сек}$ ) выделялись флюктуации напряжения на диоде и измерялся средний квадрат этих флюктуаций.

Покажем, что измеряемые величины позволяли определять  $\langle \chi \rangle$  и  $\langle (\chi - \langle \chi \rangle)^2 \rangle$ . Действительно, напряжение  $u_d$  на логарифмирующем диоде пропорционально логарифму тока:  $u_d = b(\ln I - \ln I_0)$  (чувствительность  $b$  и постоянная  $I_0$  определялись путем калибровки прибора). Поскольку мгновенное значение тока ФЭУ пропорционально освещенности, т. е. пропорционально  $[\exp(\gamma - \gamma L)]^2$ , можно записать  $I = a \exp(2\chi - 2\gamma L)$ , где  $a$  — чувствительность ФЭУ. Следовательно, напряжение  $u_d = b[2\chi - 2\gamma L - \ln I_0 + \ln a]$ , его среднее  $\langle u_d \rangle = b(-2\gamma L - \ln I_0 + \ln a) + 2b\langle \chi \rangle$ .

Для того, чтобы определить выражение, стоящее в круглых скобках, использовался результат измерения среднего тока  $\langle I \rangle = a \exp(-2\gamma L) \langle \exp 2\chi \rangle$ . Среднее значение  $\langle \exp 2\chi \rangle = 1$ , так как флюктуации приводят лишь к случайному перераспределению мощности в плоскости приема, и  $\langle I \rangle$  не зависит от флюктуаций. Вычисляя  $\ln \langle I \rangle$ , получаем  $\ln \langle I \rangle = \ln a - 2\gamma L$ , откуда, используя выражение для  $\langle u_d \rangle$  и сокращая  $b$ , имеем  $\langle \chi \rangle = (1/2)(\ln I/I_0 - \ln \langle I \rangle/I_0)$ .

Из написанных выше выражений очевидно также, что измерение  $\langle (u_d - \langle u_d \rangle)^2 \rangle$  позволяло определить  $\langle (\chi - \langle \chi \rangle)^2 \rangle$ .

На рис. 1 приведена экспериментальная зависимость  $2V - \langle \chi \rangle$  от  $2\sigma_0$ , где значения  $\sigma_0$  вычислены из соотношения (2). Каждая точка на графике соответствует значению  $\langle \chi \rangle$ , усредненному за пять минут, и значению  $\sigma_0$ , полученному из усредненных за 30 мин вертикальных профилей температуры и скорости ветра (большое время усреднения  $C_n$  связано с методикой измерения). Прямая на рисунке соответствует равенству  $2V - \langle \chi \rangle = 2\sigma_0$ , справедливому для области слабых флюктуаций  $\sigma_0 \ll 1$ . Как показал анализ результатов измерения частотных спектров случайной величины  $\chi$ , разброс точек на графике рис. 1 при  $\sigma_0 > 1$  в значительной степени обусловлен дисперсией пятиминутных средних за счет конечного времени усреднения.

Из графика видно, что имеет место удовлетворительное совпадение измеренной величины  $2\sqrt{-\langle \chi \rangle}$  с рассчитанными значениями  $\sigma_0$  при  $\sigma_0 < 1$ , что совпадает с теоретическими результатами, полученными в [1].

При  $\sigma_0 \sim 1$  величина  $2\sqrt{-\langle \chi \rangle}$  достигает максимального значения порядка 1,2—1,3 и затем в области сильных флюктуаций (при  $\sigma_0 > 1$ ) медленно спадает. Полученные экспериментальные данные сви-

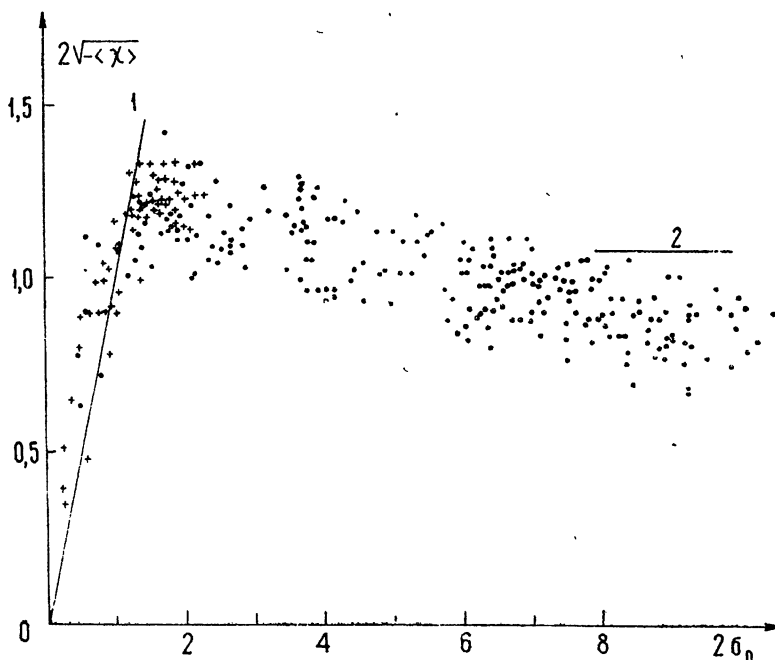


Рис. 1. Зависимость  $2\sqrt{-\langle \chi \rangle}$  от  $2\sigma_0$  (++ —  $L=250$  м; ... —  $L=1750$  м; 1 — прямая, соответствующая равенству  $2\sqrt{-\langle \chi \rangle} = 2\sigma_0$ ; 2 — прямая  $2\sqrt{-\langle \chi \rangle} = 1,06$ , соответствующая рэлеевскому распределению).

действуют о том, что при больших  $\sigma_0$  распределение вероятностей для амплитуды заметно отличается от рэлеевского, предложенного в [9], для которого, как показывает несложный расчет, получилось бы  $2\sqrt{-\langle \chi \rangle} = 1,06$ . Это значение нанесено в правой стороне графика рис. 1 тонкой горизонтальной линией, которая расположена заметно выше экспериментальных значений при  $2\sigma_0 > 6$ .

На рис. 2 представлена зависимость между одновременно измеренными величинами  $2\sqrt{-\langle \chi \rangle}$  и  $2\sigma_\chi = 2\sqrt{\langle (\chi - \langle \chi \rangle)^2 \rangle}$ . Прямая, проведенная на графике, соответствует точному равенству  $\sigma_\chi^2 = -\langle \chi \rangle$ .

Необходимо отметить, что равенство  $-\langle \chi \rangle = \sigma_\chi^2$ , как это видно из данных, приведенных на рис. 2, выполняется как для области слабых флюктуаций  $\sigma_0 \ll 1$ , так и для сильных флюктуаций. Аналогичные измерения величин  $\langle \chi \rangle$  и  $\sigma_\chi^2$  со сферической волной (для получения сферической волны из коллиматора удалялся окуляр), проведенные на трассе  $L_2$ , показали, что соотношение  $-\langle \chi \rangle = \sigma_\chi^2$  справедливо и для сферических волн.

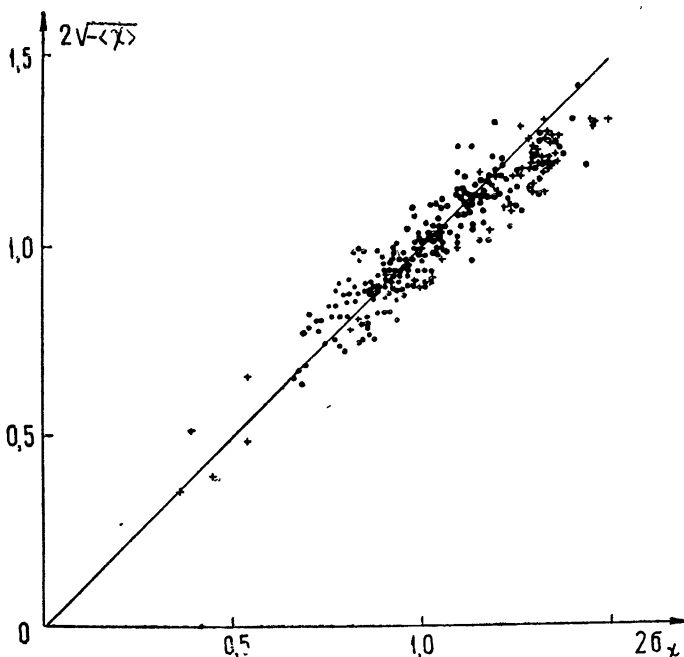


Рис. 2. Зависимость  $2\sqrt{-\langle \chi \rangle}$  от  $2\sigma_\chi$  (++ —  $L = 250$  м; ... —  $L = 1750$  м).

Авторы пользуются случаем, чтобы высказать глубокую благодарность В. И. Татарскому за полезные обсуждения результатов измерений.

#### ЛИТЕРАТУРА

1. В. И. Татарский, Распределение волн в турбулентной атмосфере, изд. Наука, М., 1967.
2. М. Е. Грачева, А. С. Гурвич, Изв. высш. уч. зав. — Радиофизика, 8, № 4, 717 (1965).
3. М. Е. Грачева, Изв. высш. уч. зав. — Радиофизика, 10, № 6, 775 (1967).
4. А. С. Гурвич, М. А. Каллистратова, Н. С. Тиме, Изв. высш. уч. зав. — Радиофизика, 11, № 9, 1360 (1968).
5. В. Е. Зуев, Прозрачность атмосферы для видимых и инфракрасных лучей, изд. Сов. радио, М., 1966.
6. А. С. Гурвич, Радиотехника и электроника, 13, № 11, 1923 (1968).
7. В. И. Татарский, В. И. Кляцкин, ЖЭТФ, 55, вып. 2 (8), 662 (1968).
8. Генерирование электрических колебаний специальной формы, изд. Сов. радио, М., 1951.
9. D. A. de Wolf, JOSA, 58, № 4, 461 (1968).

Институт физики атмосферы  
АН СССР

Поступила в редакцию  
5 мая 1969 г.

#### MEASUREMENTS OF THE MEAN LEVEL OF THE AMPLITUDE OF A LIGHT WAVE PROPAGATING IN A TURBULENT ATMOSPHERE

*M. E. Gracheva, A. S. Gurvich, M. A. Kallistratova*

The methods and results of measuring the mean logarithm of the amplitude  $\langle \chi \rangle$  of a plane light wave propagating on horizontal traces of 250 and 1750 m in the atmospheric layer near the Earth are stated. The light beam from a gas laser ( $\lambda=0.63\mu$ ) was extended by a high-quality collimator up to 50 cm in diameter. It is shown that

in accepted methods the absorption effect in the atmosphere on the measurable value  $\langle \chi \rangle$  was eliminated. The dependence of the value  $\langle \chi \rangle$  on the parameter  $\sigma_0$ , which is the dispersion of logarithm fluctuations of the wave amplitude calculated by the smooth perturbation method is given. There is also presented the dependence of the value  $\langle \chi \rangle$  on simultaneously measured dispersion of fluctuations of the amplitude logarithm  $\sigma_\chi^2 = \langle (\chi - \langle \chi \rangle)^2 \rangle$ . The data obtained show that the relation  $\langle \chi \rangle = -\sigma_\chi^2$  found theoretically for the region of "weak" fluctuations, i. e. for  $\sigma_0 < 1$ , remains valid also at "strong" fluctuations. It is noted that the data obtained contradict to the hypothesis on Rayleigh distribution of amplitude fluctuations in the region  $\sigma_0 \gg 1$ .